

# بهینه‌سازی دو هدفه‌ی مسئله‌ی تخصیص افزونگی سیستم‌های سری - موازی با اجزای تعمیر پذیر با الگوریتم ژنتیک چند هدفه مبتنی بر شبیه‌سازی تبرید

مهندسی صنایع و مدیریت شرکت، (زمستان ۱۳۹۷) دری ۱، شماره ۲/۲، ص. ۶۹-۷۱

رضا رمضانیان\* (استادیار)

دانشکده‌ی هندسی صنایع، دانشگاه صنعتی خواجه نصیرالدین طوسی

مهرازن حسینی (دانشجوی کارشناسی ارشد)

دانشکده‌ی هندسی صنایع، دانشگاه پام نور، واحد فنی و هندسی نووان - شمال

در این مقاله، یک روش جدید برای حل مسئله تخصیص افزونگی در سیستم‌های سری - موازی با اجزای تعمیر پذیر ارائه شده است. در سیستم‌های تعمیر پذیر مفهوم دسترس پذیری از اهمیت بسیار بالایی برخوردار است. هدف اصلی این مقاله، بهینه‌سازی دو هدف دسترس پذیری و هزینه سیستم است. با توجه به این که دسترس پذیری به دلیل غیرنامایی بودن توزیع نرخ خرابی و تعییر به صورت ریاضی به سختی قابل برآورد است، برای هر کدام از زیرسیستم‌های دارای اجزای موازی مقدار دسترس پذیری با استفاده از شبیه‌سازی جداگانه حسابی شده و به صورت آرشیو در الگوریتم حل استفاده می‌شود. در این تحقیق، الگوریتم ژنتیک چند هدفه مبتنی بر شبیه‌سازی تبرید برای حل مسئله استفاده می‌شود. الگوریتم ارائه شده بر روی مثال‌های طراحی شده آزمایش شد و بعد از به دست آوردن نتایج از لحاظ آماری با الگوریتم‌های MOPSO و NSGA-II مقایسه شدند که برتری SAMOGA نشان داده شده است.

Ramezanian@kntu.ac.ir  
mehranhoseini10@yahoo.com

وازگان کلیدی: مسئله تخصیص مازاد، سیستم‌های سری - موازی، اجزای تعمیر پذیر، ژنتیک چند هدفه مبتنی بر شبیه‌سازی تبرید.

## ۱. مقدمه

ابتدا در رابطه با صنایع هوایی و کاربردهای نظامی شکل گرفت ولی به سرعت توسط سایر صنایع مانند صنایع هسته‌ای - که برای تضمین ایمنی و قابلیت اطمینان راکتورهای هسته‌ای در تأمین انرژی الکتریکی شدیداً تحت فشارند - یا صنایع فرایندی‌های تولید پیوسته مانند صنایع فولاد و صنایع شیمیایی - که هر ساعت از توقف آنها به عملت وجود خرابی خسارت‌های بزرگ مالی و جانی و لولدگی محیط زیست را تحمیل کند - مورد توجه قرار گرفت. افزایش قابلیت اطمینان سیستم یکی از حوزه‌های جذاب برای مهندسان و طراحان سیستم‌ها بوده و استفاده از اجزای مازاد یکی از رویکردهای معمول در فرایند توسعه سیستم‌های است. هر سیستم معمولاً از کنار هم قرار گرفتن اجزاء مختلفی تشکیل شده که نحوی ارتباط این اجزا با هم، به عملکرد آنها در سیستم بستگی دارد. از انواع ساختار سیستم‌ها می‌توان به سیستم‌های با اجزای موازی، سری، سری - موازی، سری - موازی یکی از انواع ساختارهای سیستم است که با تخصیص اجزای ساختار سری - موازی یکی از انواع ساختارهای سیستم است که با تخصیص اجزای مازاد به صورت موازی به اجزای یک سیستم با ساختار سری، طراحی شده است.<sup>[۱]</sup>

پیدایش مهندسی قابلیت اطمینان را می‌توان به سال‌های قبل از سال ۱۹۳۰ ارجاع داد. در آن دوره به دلیل نگرانی از کارکرد صحیح تولیدات و وقوع حوادثی جون غرق شدن کشتی تایتانیک، مطالعه و تحقیقاتی در زمینه‌ی طراحی سیستم‌ها با اجزای موازی یا ذخیره انجام گرفت. سپس در دهه‌ی ۱۹۳۰ همزمان با اختراط توسعه حمل و نقل هوایی، مطالعه و تحقیقاتی در خصوص کمی کردن قابلیت اطمینان انجام شد. در دهه‌ی ۱۹۴۰ با آغاز جنگ جهانی دوم و ساخت ابزارهای پیچیده نظامی، بحث مدل سازی قابلیت اطمینان انجام گرفت. در دهه‌ی ۱۹۵۰ با به کارگیری سیستم‌های الکترونیکی گروه‌های مطالعاتی IEEE Agree و IEEE تشکیل شده و به تهیه‌ی استانداردهایی برای تولید قطعات با قابلیت اطمینان بالا پرداختند. در دهه‌ی ۱۹۶۰ با پیشرفت صنایع هوایی و انگیزه‌ی ساختن آبولو، اولین کتاب در این زمینه به رشته‌ی تحریر درآمد. شیوه‌های ارزیابی قابلیت اطمینان از نظر تاریخچه‌ی پیدایش

\* نویسنده مسئول  
تاریخ: دریافت ۲۰۱۳۹۵/۰۵/۱۵، اصلاحیه ۱۰۰، ۱۳۹۵/۰۴/۲۵، پذیرش ۱۳۹۶/۰۴/۲۵

بر استراتژی مازاد بهینه ارائه شده است.<sup>[۱۹]</sup> در شکلی دیگر، روشی برای استفاده از زیرسیستم‌های غیرهمگن در سیستم‌های سری - موازی به منظور بهینه‌سازی قابلیت اطمینان ارائه شده است.<sup>[۲۰]</sup>

در ادامه این نوشتار، در بخش دوم به تعریف مسئله و بیان مفروضات آن خواهیم پرداخت و برایهای این مفروضات، یک مدل ریاضی برای مسئله تخصیص افزونگی سیستم‌های سری - موازی با اجزای تعییرپذیر ارائه می‌شود. روش فرالاتکاری در بخش سوم تشریح می‌شود. در بخش چهارم نتایج حاصل از حل مدل با استفاده از روش فرالاتکاری ارائه شده، بررسی می‌شود. در بخش پایانی نتیجه‌گیری و پیشنهاد برای مطالعات آینده ارائه شده است.

به طور خلاصه اصلی ترین نوآوری‌های این تحقیق عبارت‌اند از:

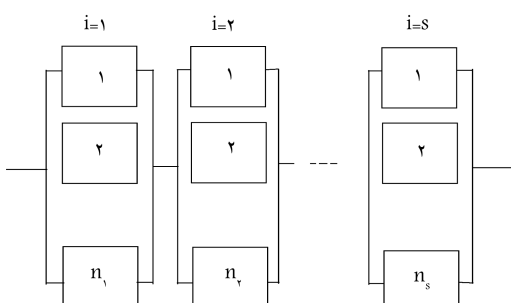
۱. بهینه‌سازی دوهدفه مسئله تخصیص افزونگی سیستم‌های سری - موازی با اجزای تعییرپذیر؛
۲. لحاظ کردن گزینه‌ی تعییرپذیری در سیستم سری - موازی و استفاده از مفهوم دسترس پذیری؛
۳. استفاده از شیوه‌سازی جهت برآورد دسترس پذیری به دلیل درنظرگرفتن توزیع های غیرنامایی برای نزخ خرابی و تعییر؛
۴. تسویه‌ی یک الگوریتم ژنتیک چنددهفه مبتنی بر شیوه‌سازی تبرید برای حل کارآمد مسئله مورد مطالعه.

## ۲. تعریف مسئله

در این نوشتار سیستمی با ساختار سری - موازی  $k$  از  $n$  متشکل از  $s$  زیرسیستم مستقل از هم در نظر گرفته شده است (شکل ۱). از آن‌جا که این نوع ساختار به واقعیت نزدیک‌تر است، مهمترین و پرکاربردترین ساختار در بین تحقیقات مختلف بوده است. در این ساختار یک سیستم با تعداد  $s$  زیرسیستم به صورت سری در کنار یکدیگر قرار گرفته‌اند و هر کدام از این زیرسیستم‌ها از  $(s, n_i)$  ( $i = 1, 2, \dots, s$ ) جزء مختلف که به صورت موازی قرار گرفته‌اند تشکیل شده است. برای هر کدام از زیرسیستم‌ها اجزای مختلفی وجود دارد، که در مدل ارائه شده برای هر زیرسیستم فقط از یک نوع جزء می‌توان استفاده کرد.

### ۱.۲. مفروضات

- اجزاء داخل هر زیرسیستم به صورت موازی قرار دارند.
- طول عمر قطعات (اجزا) دارای توزیع غیرنامایی است.

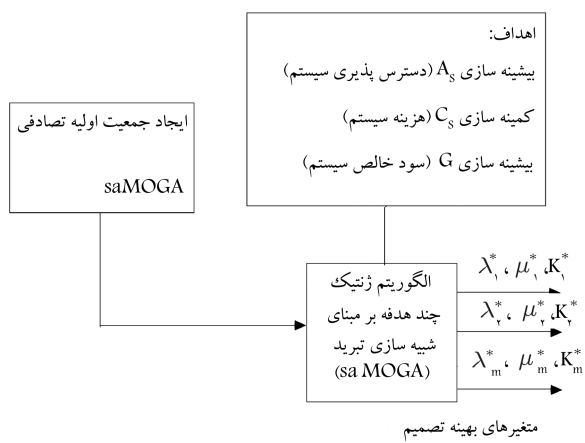


شکل ۱. ساختار سیستم متشکل از  $s$  زیرسیستم مستقل از هم.

و قابلیت اطمینان کل سیستم نیز ترکیبی از قابلیت اطمینان تک تک اجرای آن است. دو راهکار عمده به منظور افزایش قابلیت اطمینان سیستم وجود دارد. راهکار اول، بالا بردن قابلیت اطمینان اجزای سیستم و دیگری استفاده از اجزای مازاد در کنار اجرای اصلی سیستم به صورت موازی است. به علت محدودیت‌های اقتصادی و تکنولوژیکی، بهترین و کاربردی ترین روش جهت افزایش قابلیت اطمینان سیستم راهکار دوم یعنی استفاده از اجزای مازاد در کنار اجزای اصلی است. به همین دلیل در این نوشتار نیز این رویکرد به کار گرفته شده است.<sup>[۲۱]</sup> پس از اولین مطالعه<sup>[۲۲]</sup> که در آن مسئله تخصیص افزونگی در سیستم‌های سری - موازی بررسی شد، محققین بسیاری در مطالعاتشان سعی بر توسعه این دانش داشته‌اند.<sup>[۱۰-۲۴]</sup>

سلطانی و همکاران<sup>[۱۵]</sup> نیز مدلی ارائه کردند که در آن قابلیت اطمینان سیستم‌های سری - موازی با اجزای ترکیبی مورد بررسی قرار گرفت و بهبود یافت. لیانگ و همکاران<sup>[۱۶]</sup> از روش جستجوی همسایگی برای تخصیص مازاد بهره برند. همچنین از مدیریت دانش در بهینه‌سازی و طراحی دسترسی مناسب در سیستم‌های چاکب یاد شده است.<sup>[۱۷]</sup> رویکردهای دیگر هم در زمینه‌ی مهندسی و اینمی بر پایه‌ی بهبود قابلیت اطمینان و دسترس پذیری و نیز استفاده از شیوه‌سازی تبرید در مسئله تخصیص مازاد مطرح شده است.<sup>[۱۸]</sup>

با نگاهی به جریان مطالعات انجام گرفته در مسئله تخصیص افزونگی، به‌طور آشکار می‌توان دید که به این مسئله در سیستم‌های تعییرپذیر کمتر پرداخته شده است. کمبود مطالعات برای مسئله تخصیص افزونگی در سیستم‌های سری - موازی با اجزا و زیرسیستم‌های تعییرپذیر در پژوهش محققین و پس از مطالعات کاملی در ادبیات مسئله تخصیص افزونگی آورده شده است.<sup>[۱۹]</sup> از آن‌جا که ساختار سیستم می‌تواند تأثیر بسیاری بر قابلیت اطمینان سیستم داشته باشد، تعییرپذیر بودن یا نبودن اجزای سیستم یا زیرسیستم‌های آن نیز از دیگر موضوعات تأثیرگذار بر عملکرد صحیح یک سیستم در مدت زمان کارکرد آن است.<sup>[۱۷]</sup> تعییرپذیر بودن یک سیستم به این معناست که بعد از خرابی می‌توان با صرف زمان و انجام تعییرات لازم آن را مجدداً راهاندازی کرد. زمانی که یک سیستم تعییرپذیر باشد از واژه‌ی «دسترس پذیری» به جای قابلیت اطمینان استفاده می‌شود. دسترس پذیری به معنای درصدی از زمان است که سیستم تعییرپذیر به صورتی صحیح وظایف تعريف شده را انجام می‌دهد.<sup>[۱۶]</sup> همان‌طور که برای سیستم‌های تعییرپذیر واژه‌ی متفاوت از قابلیت اطمینان به عنوان پارامتر عملکردی سیستم تعریف می‌شود، سایر مفاهیم مرتبط با عملکرد سیستم نیز در سیستم‌های تعییرپذیر متفاوت خواهد بود. میانگین زمان تا خرابی<sup>[۱]</sup> یا ماندگاری<sup>[۲]</sup> در سیستم‌های تعییرپذیر، نشان‌دهنده میانگین ماندگاری طول عمر سیستم است در حالی که در سیستم‌های تعییرپذیر اجراء قابل تعییر بوده و پس از تعییر سیستم دوباره می‌تواند به کار خود ادامه دهد؛ بنابراین میانگین زمان تا اولین خرابی سیستم (MTTFF) میانگین زمانی است که سیستم برای اولین بار از کار می‌افتد. هدف اصلی این نوشتار نیز تخصیص اجزای مازاد در سیستم‌هایی با اجرای تعییرپذیر با هدف افزایش مقدار میانگین زمان تا اولین خرابی سیستم (MTTFF) تحت محدودیت‌هایی همچون هزینه کل و وزن سیستم و مجموع اجزاء داخل زیرسیستم‌هاست. مسئله تخصیص اجزای مازاد، یک مسئله‌ی بهینه‌سازی چند جمله‌ای غیرخطی<sup>[۲]</sup> است<sup>[۱۸]</sup> که به روش‌های گوناگون بررسی و حل شده است؛ از آن‌جا که با گسترش فضای جواب، روش‌های دقیق در حل این مسائل ناکارا هستند، در سال‌های اخیر روش‌های فرالاتکاری نسبت به روش‌های دقیق برتری یافته‌اند. از جمله روش‌های بهینه‌سازی کلونی مورچه‌ها،<sup>[۲۷]</sup> بهینه‌سازی گروه ذرات مبتنی بر تبرید<sup>[۲۸]</sup> و الگوریتم جستجوی همسایگی متغیر<sup>[۲۹]</sup> را می‌توان در ادبیات دید. برای زیرسیستم‌های با اجزای آماده به کار و فعل مثال‌هایی مبتنی



شکل ۲. ساختار پیشنهادی برای سیستم سری - موازی.

(شکل ۲) عبارت‌اند از: نرخ خرابی، نرخ تعمیر و تعداد اجزای بهینه در زیرسیستم؛ یعنی  $A_s$  نکنولوژی با ویژگی‌های مختلف، از جمله هزینه و دسترس پذیری، وجود دارد  $R_{ij}$  و  $w_{ij}$  را به ترتیب هزینه، وزن و دسترس پذیری زیرسیستم  $i$  (وقتی که از تکنولوژی  $j$  استفاده می‌شود) تعریف می‌کنیم. در کل، سیستم سری - موازی دارای دو هدف است: ۱. بیشینه سازی دسترس پذیری سیستم ( $A_s$ )؛ ۲. کمینه سازی هزینه سیستم ( $C_s$ ). کل بودجه در دسترس را  $B$  تعریف می‌کنیم. مسئله‌ای بهینه را انتخاب تنها یک تکنولوژی برای هر زیرسیستم با بیشترین مقدار دسترس پذیری سیستم به شرط در دسترس بودن بودجه تعریف می‌کنیم. به منظور فرموله کردن مسئله در یک بیان ریاضی، متغیر تصمیم‌گیری  $X_{ij}$  را چنین تعریف می‌کنیم:

$X_{ij}$ : متغیر بازیزی که اگر زیرسیستم  $j$  تکنولوژی (جزء)  $i$  را استفاده کند معادل ۱ در غیر این صورت صفر خواهد بود. سپس مسئله را به صورت مسئله‌ای برنامه‌ریزی عدد صحیح بازیزی با تابع هدف غیرخطی فرموله می‌کنیم:

$$\text{Max } A_s(\lambda, \mu, k)$$

$$\text{Max } C_s(\lambda, \mu, k)$$

s.t.

$$\sum_{i=1}^s \sum_{j=1}^{N_i} C_{ij} X_{ij} \leq B \quad (1)$$

$$\sum_{j=1}^{N_i} X_{ij} = 1; \quad i = 1, 2, \dots, s \quad (2)$$

$$\sum_{i=1}^s \sum_{j=1}^{N_i} W_{ij} X_{ij} \leq W; \quad \forall i, j \quad (3)$$

$$X_{ij} \in \{0, 1\}; \quad \forall i, j \quad (4)$$

محدودیت ۱ بیان‌گر بودجه، محدودیت ۲ بیان‌گر محدودیت‌های چند گزینه‌یی، محدودیت ۳ بیان‌گر رعایت وزن و محدودیت ۴ بیان‌گر متغیرهای تصمیم‌گیری هستند.

### ۳. الگوریتم بهینه‌یابی ژنتیک چند هدفه مبتنی بر

#### شبیه سازی تبرید

برای حل مسائل با تخصیص دسترس پذیری و بهینه سازی مطابق مدل ریاضی ارائه شده در بخش قبل، در اینجا «رویکرد ژنتیک چند هدفه مبتنی بر شبیه سازی تبرید» (SAMOGA) ارائه شده است. متغیرهای تصمیم بهینه که باید مشخص شوند

#### ۲.۳. سازوکار نمایش و ایجاد جمعیت اولیه

اولین گام اساسی در به کارگیری الگوریتم ژنتیک و پیاده سازی آن، نمایش جواب‌های مسئله به صورت کروموزوم است. در حقیقت این عمل، یک مفهوم کلیدی در

- اجزاء تعمیر پذیر بوده و نرخ تعمیر قطعات نیز غیرنامایی است.
- در هر زیرسیستم از انواع مختلف از اجزاء می‌توان استفاده کرد.
- در داخل یک زیرسیستم فقط از یک نوع جزو می‌توان استفاده کرد.
- در داخل هر زیرسیستم از تعداد مشخصی از اجزاء می‌توان استفاده کرد.
- در این سیستم یک تعمیرکار داریم که قادر به تعمیر تمامی اجزاست.

#### ۲.۲. فرموله کردن مسئله

یک سیستم سری با  $S$  زیرسیستم مختلف را در نظر بگیرید. برای زیرسیستم  $i$   $N_i$  تکنولوژی با ویژگی‌های مختلف، از جمله هزینه و دسترس پذیری، وجود دارد  $R_{ij}$  و  $w_{ij}$  را به ترتیب هزینه، وزن و دسترس پذیری زیرسیستم  $i$  (وقتی که از تکنولوژی  $j$  استفاده می‌شود) تعریف می‌کنیم. در کل، سیستم سری - موازی دارای دو هدف است: ۱. بیشینه سازی دسترس پذیری سیستم ( $A_s$ )؛ ۲. کمینه سازی هزینه سیستم ( $C_s$ ). کل بودجه در دسترس را  $B$  تعریف می‌کنیم. مسئله‌ای بهینه را انتخاب تنها یک تکنولوژی برای هر زیرسیستم با بیشترین مقدار دسترس پذیری فرموله کردن مسئله در یک بیان ریاضی، متغیر تصمیم‌گیری  $X_{ij}$  را چنین تعریف می‌کنیم:

$X_{ij}$ : متغیر بازیزی که اگر زیرسیستم  $j$  تکنولوژی (جزء)  $i$  را استفاده کند معادل ۱ در غیر این صورت صفر خواهد بود. سپس مسئله را به صورت مسئله‌ای برنامه‌ریزی عدد صحیح بازیزی با تابع هدف غیرخطی فرموله می‌کنیم:

رتبه‌بندی به سه قسمت تقسیم شده‌اند: ۱. جداسازی تمام موارد در یک جمعیت و تقسیم آنها به دو گروه شدنی، که محدودیت‌ها را ارضاء می‌کنند (A)؛ ۲. رتبه‌بندی موارد شدنی/نشدنی با استفاده از رویکرد دسته‌بندی حبابی و بر اساس اولویت توابع هدف (B)؛ ۳. یکی کردن موارد شدنی و نشدنی رتبه‌بندی شده (C).

دو الگوریتم رتبه‌بندی به نام‌های رتبه‌بندی I و رتبه‌بندی II دارای ساختاری مشابه در قسمت A هستند. اگر یک مورد حداقل بتواند به سطح قابل قبولی از تمامی توابع هدف مانند  $C_{max}$ ,  $R_{S1}$  و  $R_{S2}$  دست پیدا کند، این مورد به مجموعه مقادیر قابل قبول  $fit_{pass}$  اضافه می‌شود. در غیراین صورت در گروه موارد غیرقابل قبول  $fit_{unpass}$  قرار می‌گیرد. بعد از آن، قسمت B با استفاده از روش دسته‌بندی حبابی و بر اساس اولویت توابع هدف این موارد را رتبه‌بندی می‌کند. ترتیب اولویت توابع به شکل  $C_s \succ A_s \succ C_s$  برای مورد I و  $G \succ A_s \succ C$  برای مورد II است و نماد « $\succ$ » به معنای برتری است. در قسمت C موارد شدنی و نشدنی با هم ترکیب می‌شود.

### ۴.۳. طراحی همسایگی

در استراتژی عمومی تکاملی، تمام کروموزم‌های موجود در یک جمعیت باید عملکردهای ژنتیک را نجات دهند. اما با توجه به سازوکار تکاملی طراحی همسایگی، تنها کروموزم‌های موجود در مراز اطراف کروموزم‌های خاص باید عملکردهای ژنتیک را نجات دهند تا به این ترتیب کارایی اجرا افزایش چشمگیری داشته باشد. همسایگی به معنای مراز اطراف کروموزمی است به نام «کروموزم مرکزی،  $Y$ » در یک جمعیت. بدین منظور مراحل زیر را دنبال می‌کنیم:

- اولین جواب موجود در جمعیت انتخاب می‌شود.
- یک عدد تصادفی حقیقی در فاصله‌ی صفر و ۱ تولید می‌کنیم.
- اگر  $P_m < r$  آنگاه جواب مورد نظر تحت عملکردهای همسایگی قرار می‌گیرد؛ به این صورت که یکی از زن‌های مربوط به نوع یا تعداد اجزاء در یک زیرسیستم انتخاب می‌شود و جایگزین مقدار دیگری می‌شود که به صورت تصادفی و موجه تولید شده‌اند.

### ۵.۳. عملکردهای ژنتیک

#### ۱.۵.۳. عملکردن تقاطع

بخشی از فرایند تکامل در طبیعت بدین صورت است که کروموزم‌هایی به عنوان والدین انتخاب شده و با هم ترکیب می‌شوند. در واقع باید کروموزم‌های انتخاب شده را تقاطع دهیم. برای تولید فرزند جدید در هر تکرار از الگوریتم، عملکردن تقاطع یک‌نواخت<sup>۲</sup> پیاده‌سازی شده است. از این عملکردن برای انتقال خصوصیات مناسب بعضی از زن‌ها که در طول کروموزم پراکنده شده‌اند، استفاده می‌شود. در تقاطع یک و دونقطه‌یی، انتقال خصوصیات به صورت جای‌جا یعنی قسمتی از رشته مورد نظر انجام می‌گیرد. در شرایطی که زن‌ها با خصوصیات مناسب در طول رشته پراکنده شده باشند، استفاده از تقاطع یک‌نواخت می‌تواند مفیدتر از سایر روش‌های تقاطع باشد. عملکردن تقاطع یک‌نواخت، به صورت تصادفی بعضی از بیت‌ها را در طول رشته‌های والدین به منظور تولید فرزندان جای‌جا می‌کند. در شکل ۴ نحوه اجرایی عملکردن تقاطع یک‌نواخت با یک مثال عددی نشان داده شده است.

الگوریتم ژنتیک است که در موقعيت و نحوه پیاده‌سازی الگوریتم تأثیر فراوانی دارد. روش‌های مختلفی برای کد کردن جواب‌های مسئله و طراحی کروموزوم وجود دارد. در حالت کلی هنگام طراحی یک روش نمایش کروموزوم باید موارد زیر را در نظر گرفت:

- کروموزوم باید چنان طراحی شود که تا حد امکان از اطلاعات مسئله برای کاهش تعداد حالات فضای حل استفاده کند.
- در یک کروموزم نباید اعمال محدودیت‌های مسئله به راحتی انجام شود، و در اثر اعمال مراحل دیگر الگوریتم، محدودیت‌های مسئله نباید نقص شود.
- تا حد امکان کروموزوم نباید در اثر اجرای مراحل تقاطع و جهش به حالت نامعتبر تبدیل شود. در برخی از مسائل گریز از حالت‌های نامعتبر در نحوه نمایش امکان پذیر نخواهد بود و باید پس از اجرای روش تقاطع و جهش در کروموزوم‌ها تغییر ایجاد کنیم.

در این تحقیق برای نمایش جواب‌های مسئله از یک ساختار استفاده شده است. ساختار اول مربوط به یک بردar  $n \times 1$  است. بدین ترتیب که  $n$  بیان‌گر تعداد زیرسیستم‌هاست و عدد موجود در زن اول نشان‌دهنده‌ی تعداد اجزای دهنده‌ی در زیرسیستم اول، و عدد موجود در زن دوم نشان‌دهنده‌ی تعداد اجزای دهنده‌ی در زیرسیستم دوم و ... الی آخر است. ساختار دوم مربوط به یک ماتریس  $n \times n$  است که در آن  $n$  بیان‌گر تعداد زیرسیستم‌هاست و  $n$  بیان‌گر تعداد نوع اجزاست. در هر سطر این ماتریس یک عدد ۱ وجود دارد که نشان‌دهنده‌ی نوع جزء انتخاب شده در زیرسیستم است. ساختار سوم نشان‌گر یک بردar  $n \times 1$  است که در آن  $n$  بیان‌گر تعداد زیرسیستم‌هاست و عدد موجود در زن اول نشان‌دهنده‌ی نوع سیاست افزونگی انتخاب شده برای زیرسیستم اول، عدد موجود در زن دوم نشان‌دهنده‌ی نوع سیاست افزونگی انتخاب شده برای زیرسیستم دوم است و ... الی آخر. به عنوان مثال شکل ۳ نشان‌دهنده‌ی کروموزومی است که بر اساس آن گاهی زیرسیستم اول ۲ عدد جزء نوع ۱، در زیرسیستم دوم ۵ عدد جزء نوع ۲، و در زیرسیستم سوم ۳ عدد جزء نوع ۴ قرار دارد.

### ۳. رتبه‌بندی جواب‌ها

ما برای یافتن جواب‌های بهینه‌ی پارتو در یک جمعیت، دو الگوریتم رتبه‌بندی ارائه می‌کنیم. الگوریتم رتبه‌بندی می‌تواند در زمینه‌ی انجام مقایسه میان دو مورد و شناسایی موارد غیرغالب به ما کمک کند. به منظور یافتن تعداد بیشتری از جواب‌های بهینه‌ی پارتو، باید تنوع فضای جواب را افزایش داد. بنابراین جواب‌های نشدنی غلبه‌ی در الگوریتم‌های رتبه‌بندی باقی می‌مانند. این کار به جواب‌های نشدنی امکان بهینه‌شدن و تبدیل آن به جواب‌های قابل قبول تر را می‌دهد. قواعد پایه‌ی الگوریتم

ساختار اول	ساختار دوم	ساختار سوم
------------	------------	------------

۲	۵	۳
۱	۰	۰
۰	۱	۰
۰	۰	۱

شکل ۳. نحوه نمایش جواب.

#### ۴. ارزیابی تابع هدف دسترس‌پذیری

یک سیستم سری - موازی برای اولین بار زمانی از کار می‌افتد که یکی از زیرسیستم‌های آن از کار بیفتند؛ به عبارتی هر کدام از زیرسیستم‌ها که زودتر از دیگر زیرسیستم‌ها از کار بیفتند کل سیستم خراب می‌شود. تمامی روابط و معادلات برای محاسبه‌ی  $As$  یک سیستم با احتمالات خرابی و تعمیر نمایی بودن این امکان وجود ندارد؛ از این رو آماری امکان‌پذیر است و در صورت غیرنظامی بودن این امکان وجود ندارد؛ ایجاد می‌شود از رویکرد شبیه‌سازی برای محاسبه‌ی این مقادیر استفاده شده است. یادآور می‌شود که برازنده‌ی هر کروموزوم برابر با میانگین برازنده‌ی های آن در  $n$  بار شبیه‌سازی آن کروموزوم است. بدین ترتیب قادریم میزان شایستگی (برازنده‌ی) هر کروموزوم را بدون در نظر گرفتن هیچ‌گونه فرض غیرواقعی محاسبه کنیم.

#### ۴. آزمایشات محاسباتی

در این بخش با استفاده از مسائل نمونه تصادفی تولید شده، عملکرد الگوریتم را در حل مدل ارزیابی می‌کنیم. دو الگوریتم فرالاتکاری زنیک (MOPSO) به نام‌غلو (NSGA-II) و بهینه‌سازی اجتماع ذرات چنددهدفه (ED) به منظور ارزیابی کارایی الگوریتم پیشنهادی مورد استفاده قرار می‌گیرند. برنامه‌نویسی، محاسبات و اجرای برنامه‌ی الگوریتم‌ها در نرم‌افزار Matlab ۷/۸ و ED ۸/۱ (برای انجام شبیه‌سازی) و توسط یک PC با چهار گیگابایت RAM و پردازشگر Core i7، ۲ duo ۲/۲ GHz انجام شده است.

#### ۱.۴. شاخص‌های ارزیابی عملکرد الگوریتم‌های چنددهدفه

چنان‌که گفته شد، الگوریتم‌های چنددهدفه‌ی پیشنهادی بر مبنای پارتی جستجو و کار می‌کنند. از طرفی می‌دانیم پارتی نهایی یافت شده توسط الگوریتم‌ها باید دارای دو خاصیت هم‌گرایی و تنوع‌گرایی خوب باشند. برای این منظور لازم است تا شاخص‌های مختلفی بررسی شوند تا شناخت جامعی از عملکرد یک الگوریتم چنددهدفه حاصل شود. در این بخش، به چند نمونه از این معیارها اشاره می‌کنیم. البته پیش از تعریف این شاخص‌ها لازم است تا پارامترهای زیر تعریف شوند:

$Q$ : مجموعه حل‌های نامغلوب سطح اول

$|Q|$ : تعداد حل‌های موجود در مجموعه  $Q$

$M$ : تعداد اهداف

$\Omega$ : مقدار ز امین تابع هدف از جواب  $\Omega$  ام

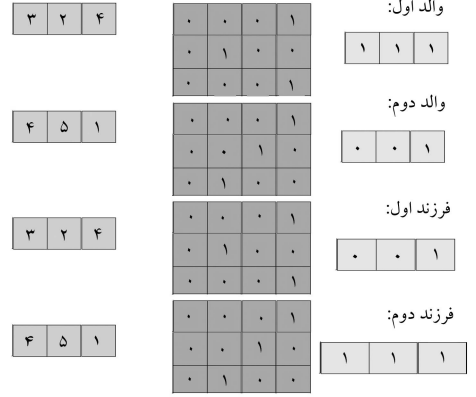
۴.۱.۱. فاصله‌گذاری

این شاخص یک معیار اندازه‌گیری برای سنجش فاصله نسبی جواب‌های متواالی است. در رابطه‌ی  $\Omega$  نحوه‌ی محاسبه‌ی این شاخص ارائه شده است:

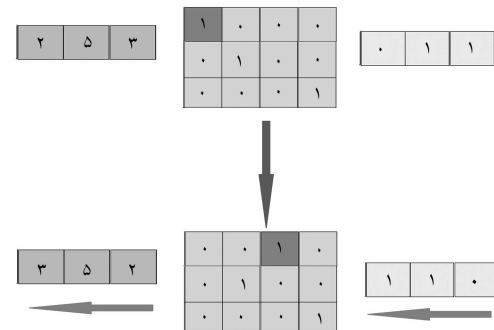
$$S = \sqrt{\frac{1}{n-1} \sum_{i=1}^n (d_i - \bar{d})^2} \text{ where}$$

$$d_i = \min_{k \in n, k \neq i} \sum_{m=1}^r |f_m^i - f_m^k| \text{ and } \bar{d} = \frac{1}{n} \sum_{i=1}^n d_i \quad (5)$$

فاصله‌ی اندازه‌گیری شده برابر است با کمترین مقدار مجموع قدر مطلق تفاضل در مقادیر تابع هدف بین  $\Omega$  امین جواب و جواب‌های واقع در مجموعه‌ی نامغلوب نهایی. این معیار انحراف معیارهای مقادیر مختلف  $\Omega$  را اندازه‌گیری می‌کند. زمانی



شکل ۴. نمونه‌یی از عملکرد تقاطع اعمالی.



شکل ۵. نمونه‌یی از کارکرد عملکرد جهش پیشنهادی.

#### ۲.۵.۳. عملکرد جهش

اعمال جهش به هنگام حرکت از جمعیت حاضر به جمعیت جدید باعث افزایش میزان تنوع در جمعیت جدید می‌شود و این تنوع اساس تکامل و پیشرفت در رسیدن به جواب نهایی است. عملکرد جهش تضمین می‌کند که الگوریتم زنیک به جواب بهینه عمومی با جواب‌های نزدیک به آن برسد. زیرا با اعمال این عملکرد، نقاط اطراف کروموزوم‌های جمعیت نیز در مجموعه فضای جستجو قرار خواهد گرفت و در واقع یک جستجوی همسایگی انجام گرفته و فضای جستجو را برای رسیدن به بهینه مطلق توسعه می‌دهد. این فرایند به جمعیت اولیه ویژگی‌های می‌دهد که ممکن است در کروموزوم‌های جمعیت وجود نداشته باشد؛ همچنین از همگرایی سریع الگوریتم زنیک در بهینه‌های محلی، قبل از آن که تمام سطوح هزینه<sup>۵</sup> را جستجو کند، ممکن است در عدد تصادفی بین صفر و ۱ با توجه به ابعادش بدین صورت که برای هر کروموزوم یک عدد تصادفی بین صفر و ۱ باشد. تولید کرده، آنگاه چنانچه اعداد تولید شده‌ی هر ژن کوچک‌تر از مقداری خاص بود، روى آن ژن مربوطه جهش صورت می‌گيرد و مجددًا مقدار خواهد گرفت. شکل ۵ بيان گر نحوه‌ی اجرای عملکرد جهش است.

گام‌های اعمال جهش روی کروموزوم‌ها عبارت‌اند از:

۱. اولین کروموزوم موجود در جمعیت انتخاب می‌شود.

۲. یک عدد تصادفی حقیقی در فاصله‌ی صفر و ۱ تولید کنید.

اگر  $Pm < r$ ، کروموزوم مورد نظر تحت عملکرد جهش قرار می‌گیرد؛ به این صورت که تمامی ژن‌های موجود در ساختار اول و سوم انتخاب شده و به طور معکوس مرتب می‌شوند. یکی از ژن‌های ساختار سوم انتخاب، و با مقدار دیگری که به صورت تصادفی و موجه تولید شده، جایگزین می‌شود.

زیرسیستم بین ۲ تا ۵ زیرسیستم، بیشترین تعداد اجزا در هر زیرسیستم بین ۲ تا ۴، تعداد انواع مختلف اجزا برای هر زیرسیستم بین ۲ تا ۵ و برای وزن و هزینه به ترتیب اعداد بین ۵۰۰ تا ۱۰۰۰ و ۱۰۰ تا ۵۰۰ انتخاب شده است. در شکل ۸ کارایی الگوریتم‌ها در تمامی شاخص‌ها نشان داده شده است. از آنجاکه معیار تعداد جواب پارتو هرچه بیشتر باشد بهتر است می‌توان نتیجه گرفت که الگوریتم NSGA-II بهترین عملکرد را در بین سایر الگوریتم‌ها دارد و می‌تواند تعداد جواب‌های بیشتری را در صفر اول پارتو پیدا کند. مطابق شکل ۸ می‌توان گفت که در معیار تنوع الگوریتم MOPSO و SAMOGA عملکرد بهتری در مقایسه با الگوریتم‌ها NSGA-II و MOPSO دارد. شکل ۸ برتری الگوریتم SAMOGA نسبت به دو الگوریتم دیگر را در مدت زمان اجرا نشان می‌دهد. طبق این شکل الگوریتم SAMOGA در مسائل اندازه کوچک عملکرد مشابه با الگوریتم NSGA-II و MOPSO دارد ولی با افزایش اندازه مسئله عملکرد الگوریتم SAMOGA به شدت افزایش می‌یابد، به طوری که اختلاف محسوسی با دو الگوریتم دیگر ایجاد می‌کند.

### ۳.۴. تحلیل واریانس

به منظور بررسی و مقایسه دقیق‌تر از تحلیل‌های آماری استفاده کردند. همان‌طور که اشاره شد، در این حیطه از تحلیل واریانس بهره جسته‌ایم. به این صورت که الگوریتم‌ها در رابطه با هر معیار توسط نرم‌افزار مورد آنالیز واریانس قرار می‌گیرند و نتایج آن‌ها تحلیل می‌شود. در این راستا ابتدا نتایج الگوریتم‌ها در اندازه‌های مختلف با استفاده از معیار درصد انحراف نسبی (RPD) نرمال‌سازی می‌شوند. مقدار RPD نشان می‌دهد که جواب‌ها در هر الگوریتم تا چه اندازه از بهترین جواب حاصله فاصله دارند. درصد انحراف نسبی بر طبق فرمول ۶ محاسبه می‌شود:

$$RPD_{ij} = \frac{Sol_{ij} - Sol_{jmin}}{Sol_{jmin}} \quad (7)$$

که در آن  $\bar{x}$  شماره الگوریتم و  $n$  شماره سایز مثال است. سپس الگوریتم‌ها در رابطه با هر معیار مورد آنالیز واریانس قرار می‌گیرند و نتایج آن‌ها تحلیل می‌شود. کمتر از ۵٪ درصد بودن مقدار p-value نشان‌دهنده معنادار بودن اختلاف بین پاسخ‌های الگوریتم‌ها در رابطه با آن معیار خاص است و در غیر این صورت می‌توان گفت بین عملکرد الگوریتم‌ها در رابطه با آن معیار تفاوت معناداری وجود ندارد. ابتدا بررسی می‌شود که آیا میانگین الگوریتم‌ها در هر یک از شاخص‌ها با هم متفاوت است یا خیر (فرض صفر و ۱):

$$H_0 : \mu_1 = \mu_2 = \mu_3$$

$$H_1 : \mu_i \neq \mu_j \quad i, j = 1, 2, 3 \text{ and } i \neq j$$

نتایج به دست آمده از تحلیل واریانس در جدول ۱ آمده است. در این جداول خروجی تحلیل واریانس به صورت F-value و p-value داشته‌اند. در این آزمایش ها به دست آمده گزارش

جدول ۱. آنالیز واریانس برای نتایج.

Test Results	P – Value	F – Value	Metric
فرض صفر رد می‌شود.	۰,۰۰۰	۷۵,۳۶	Diversity
فرض صفر رد می‌شود.	۰,۰۰۰	۳۷,۷۵	NOS
فرض صفر رد می‌شود.	۰,۰۰۰	۱۱,۵۹	Spacing
فرض صفر رد می‌شود.	۰,۰۰۰	۱۸,۵۸	Time

که جواب‌ها به طور یکنواخت در کنترل هم باشند آنگاه مقدار  $S$  کوچک خواهد بود. بنابراین الگوریتمی که جواب‌های نامغلوب نهایی آن دارای مقدار  $S$  کمتری است، بهتر خواهد بود.

### ۲.۱.۴. تنوع

این معیار طول قطر مکعب فضایی را که با مقادیر انتهایی اهداف برای مجموعه جواب‌های نامغلوب کاربرد دارد، اندازه‌گیری می‌کند.

$$D = \sqrt{\sum_{j=1}^m (\max_i f_i^m - \min_i f_i^m)^2} \quad (8)$$

در حالت دوهدفه، این معیار برابر فاصله اقلیدسی می‌باشد. دو جواب مزدی در فضای هدف است. هرچه این معیار بزرگ‌تر باشد، بهتر است. در شکل ۶ مقاومت فاصله اندازه گرفته شده در دو روش فاصله‌گذاری و تنوع نشان داده شده است.

### ۲.۱.۳. معیار تعداد جواب‌های پارتو (NOS)

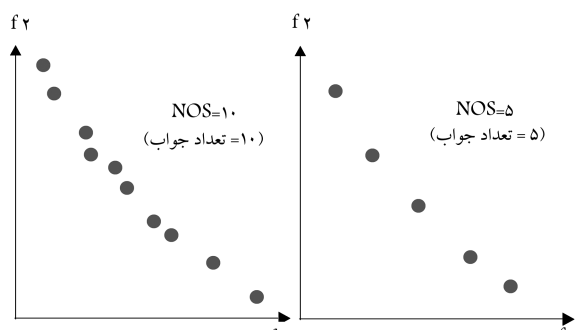
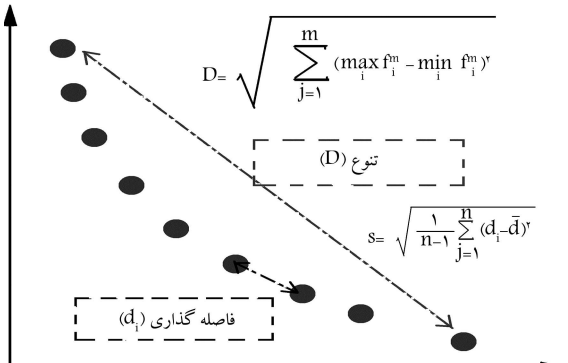
هرچه تعداد جواب‌های پارتو یک روش بیشتر باشد، مطلوب تر است. تعداد جواب‌های پارتو را با NOS نشان می‌دهیم. شکل ۷ اشاره به جواب‌های پارتو دارد.

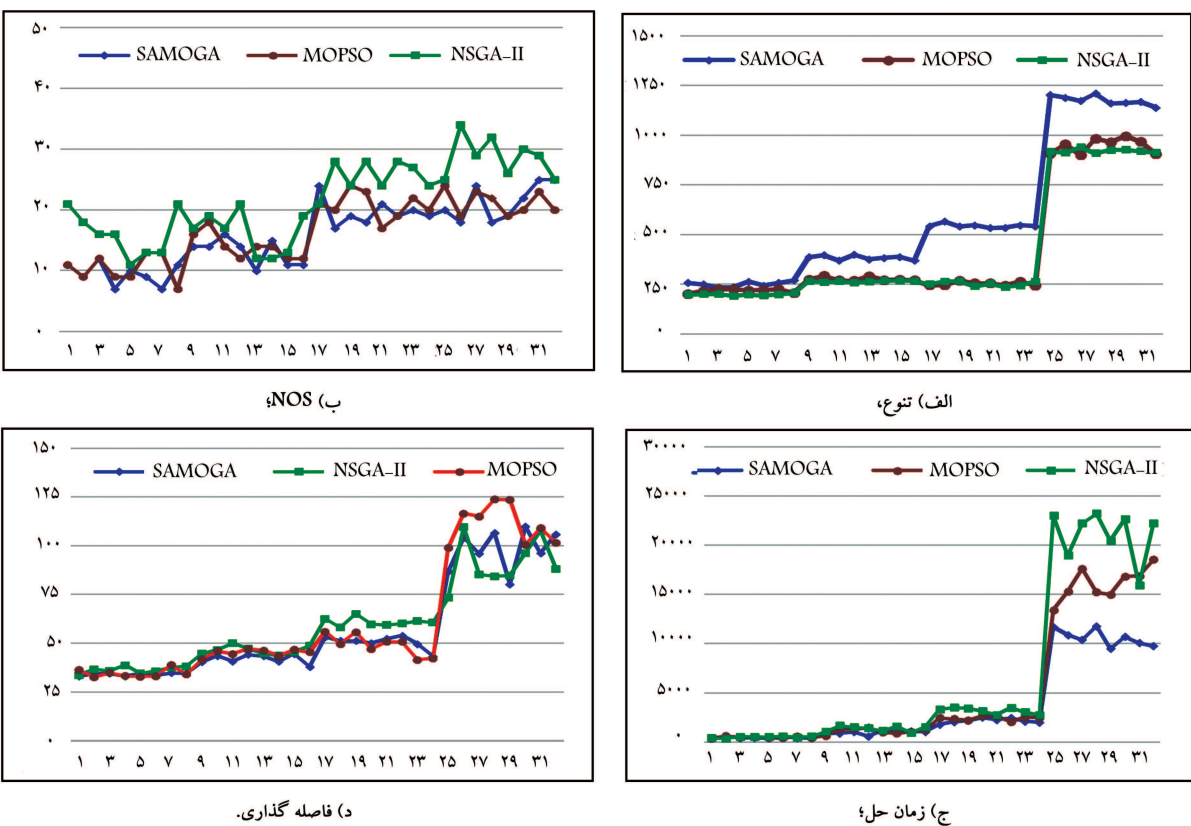
### ۴. زمان محاسباتی

زمان رسیدن به جواب‌های نزدیک به بهینه همواره یکی از مهم‌ترین معیارهای بررسی کارایی الگوریتم‌های فراابتکاری بوده است.

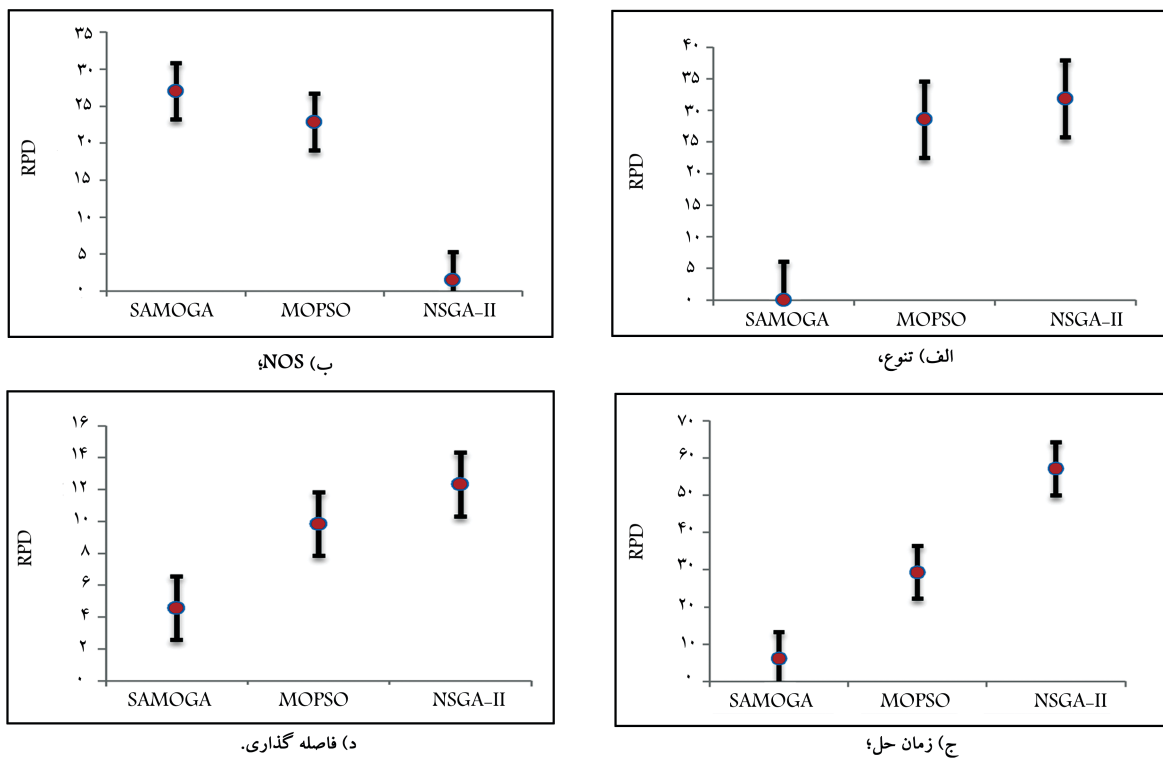
### ۲.۰. ارزیابی الگوریتم‌ها

به منظور تشریح کارایی الگوریتم‌های پیشنهادی مثال‌های عددی به صورت ۳۲ آزمایش مشابه<sup>[۱]</sup> طراحی شده است. در این آزمایش‌ها، تعداد زیرسیستم‌ها در هر





شکل ۸. مقایسه‌ی کارایی الگوریتم‌های پیشنهادی در معیارهای مورد بررسی.



شکل ۹. مقایسه‌ی الگوریتم‌های پیشنهادی در معیارهای مورد بررسی بر اساس آزمون توکی.

افزونگی برای سیستم‌هایی با ساختار سری - موازی ارائه شد که در آن تا حدود زیادی حجم محاسبات کاهش یافته و دست‌یابی به یک جواب مطلوب با سهولت بیشتر را امکان‌بزیر کرده است. از آنجاکه توزیع‌های در نظر گرفته شده برای خرابی و تعییر غیرنامایی است، تابع هدف دسترسی‌بزیری مسئله با روش شبیه‌سازی محاسبه می‌شود.

برای بهینه‌سازی مسئله تخصیص افزونگی که به صورت یک مدل دو هدفه ارائه شد، از الگوریتم فراابتکاری SAMOGA استفاده شد. الگوریتم ارائه شده روی مثال‌های طراحی شده آزمایش شد و بعد از به دست آوردن نتایج از لحاظ آماری با دو الگوریتم NSGA-II و MOPSO مورد مقایسه قرار گرفت. روش پیشنهادی توائیت در کمترین زمان ممکن به با کیفیت‌ترین جواب‌ها دست یابد. یکی از پیشنهادات قابل ارائه برای انجام تحقیقات آتی اضافه کردن ویژگی‌های جدید به سیستم و بازنگری مدل بهینه‌سازی تحقیق و حل مدل جدید است. از جمله‌ی این ویژگی‌ها می‌توان اشاره کرد به:

۱. امکان تخصیص هم‌زمان انواع مختلف از اجزا در هر زیرسیستم؛
۲. تعریف خرابی و تعییر اجزا به صورت اعداد فازی؛
۳. انواع تخصیص‌های مختلف خدمات تعییر و تعداد تعییرکاران؛
۴. امکان تخصیص اجزای چندحالته در زیرسیستم‌ها.

شده است. لذا خروجی‌های آماری بیان می‌دارد که در توزیع نمایی الگوریتم‌ها در تمامی معیارها کاملاً قابلیت رقابت با یکدیگر را دارند. به منظور تعیین کارایی الگوریتم‌ها در شاخص‌هایی که دارای تقاضت معنادار هستند از آزمون توکی استفاده می‌کنیم. نتایج به دست آمده از آزمون توکی به شکل فوایل اطمینان هم‌زمان توکی در شکل ۹ آمده است. براین اساس، می‌توان گفت که الگوریتم SAMOGA در معیارهای زمان محاسباتی، بیشترین گسترش و فاصله‌گذاری عملکرد بالاتری در مقایسه با الگوریتم‌های NSGA-II و MOPSO دارد. در صورتی که در معیار تعداد جواب پارتو، الگوریتم NSGA-II عملکرد بهتری در مقایسه با الگوریتم‌های MOPSO و SAMOGA دارد.

## ۵. نتیجه‌گیری

در بررسی مدل‌های قابلیت اطمینان، نزهای خرابی عناصر متفاوت است و برای کل سیستم، حالت‌های در نظر گرفتن انواع نزه خرابی به طور فرازینه‌بی افزایش می‌باشد. فضای جواب این‌گونه مسائل بسیار بزرگ است و محاسبه‌ی مقداری دقیق برای قابلیت اطمینان در هر لحظه از زمان سخت است. در این تحقیق، یک روش جدید برای انتخاب بهترین اجزا با نزه خرابی و تعییر غیرنامایی و بهترین سیاست

## پانوشت‌ها

1. Mean Time to Failure
2. Survivability
3. NP-hard
4. Uniform crossover
5. Cost surface

## منابع (References)

1. Tekiner-Mogulkoc, H. and Coit, D.W. "System reliability optimization considering uncertainty: minimization of the coefficient of variation for series-parallel systems", *Reliability, IEEE Transactions on Reliability*, **60**(3), pp. 667-674 (2011).
2. Kuo, W. and Prasad, V.R. "An annotated overview of system-reliability optimization", *IEEE Transaction on Reliability*, **2**, pp. 176-187 (2000).
3. Fyffe, D.E., Hines, W.W. and Lee, N.K. "System reliability allocation and a computational algorithm", *IEEE Transaction on Reliability*, R-**17**(2), pp. 64- 69 (1968).
4. Coelho, L.D.S. "Reliability-redundancy optimization by means of a chaotic differential evolution approach", *Chaos, Solitons and Fractal*, **41**(2), pp. 594- 602 (2009).
5. Zou, D., Gao, L., Li, S. and et al. "An effective global harmony search algorithm for reliability problems", *Expert Systems with Applications*, **38**(4), pp. 4642-4648 (2011).
6. Ramirez-Marquez, J.E. and Coit, D.W. "A heuristic for solving the redundancy allocation problem for multi-state series-parallel system", *Reliability Engineering and System Safety*, **83**(3), pp. 314-349 (2004).
7. Nahas, N., Nourelfath, M. and Ait-Kadi, D. "Coupling ant colony and the degraded ceiling algorithm for the redundancy allocation problem of series-parallel systems", *Reliability Engineering and System Safety*, **92**(2), pp. 211-222 (2007).
8. Safaei, N., Tavakkoli-Moghaddam, R. and Kiassat, C. "Annealing-based particle swarm optimization to solve the redundant reliability problem with multiple component choices", *Applied Soft Computing*, **12**(11), pp. 3462-3471 (2012).
9. Liang, Y.C. and Chen, Y.C. "Redundancy allocation of series parallel systems using a variable neighborhood search algorithm", *Reliability Engineering and System Safety*, **9**(3), pp. 323-331 (2007).
10. Ha, C. and Kuo, W. "Reliability redundancy allocation: An improved realization for non-convex nonlinear programming problems", *European Journal of Operation Research*, **171**(1), pp. 24-38 (2006).
11. Soltani, R., Sadjadi, S.J. and Tofiqi, A.A. "A model to enhance the reliability of the serial parallel systems with component mixing", *Applied Mathematical Modelling*, **38**, pp. 1064-1076 (2013).
12. Liang, Y.C., Lo, M.H. and Chen, Y.C. "Variable neighborhood search for redundancy allocation problems",

- IMA Journal of Management Mathematics*, **18**(2), pp. 135-155 (2007).
13. Juang, Y.S., Lin, S.S. and Kao, H.P. "A knowledge management system for series-parallel availability optimization and design", *Expert System with Applications*, **34**(1), pp. 181-193 (2008).
14. Zhang, E., Wu, Y. and Chen, Q. "A practical approach for solving multi-objective reliability redundancy allocation problems using extended bare-bones particle swarm optimization", *Reliability Engineering & System Safety*, **127**, pp. 65-76 (2014).
15. Chambari, A., Najafi, A.A., Rahmati, S.H.A. and et al. "An efficient simulated annealing algorithm for the redundancy allocation problem with a choice of redundancy strategies", *Reliability Engineering & System Safety*, **119**, pp. 158-164 (2013).
16. Kuo, W. and wan, R. "Recent advances in optimal reliability allocation", *IEEE Transaction on System, Man and Cybernetics-part a: System and Humans*, **39**, pp. 143-156 (2007).
17. Guedenko, B., Ushakov, I. *Probabilistic Reliability Engineering. A Wiley-Interscience publication*, New York (1995).
18. Najafi, A.A., Karimi, H., Chambari, A. "Two meta-heuristics for solving the Reliability redundancy allocation problem to Maximize mean time to failure of a series-parallel System", *Scientia Iranica*, **20**(3), pp. 832-838 (2013).
19. Kim, H. and Kim, P. "Reliability-redundancy allocation problem considering optimal redundancy strategy using parallel genetic algorithm", *Reliability Engineering & System Safety*, **159**, pp. 153-160 (2017).
20. Feizabadi, M. and Jahromi, A.E. "A new model for reliability of series-parallel system with non-homogeneous components", *Reliability Engineering and System Safety*, **157**, pp. 101-112 (2017).
21. Mousavi, S.M. Alikar, N., Akhavan Niaki, S.T. and et al. "Two tuned multiobjective meta-heuristic algorithms for solving a fuzzy multi-state redundancy allocation problem under discount strategies", *Applied Mathematical Modelling*, **39**(22), pp. 6968-6989 (2015).